

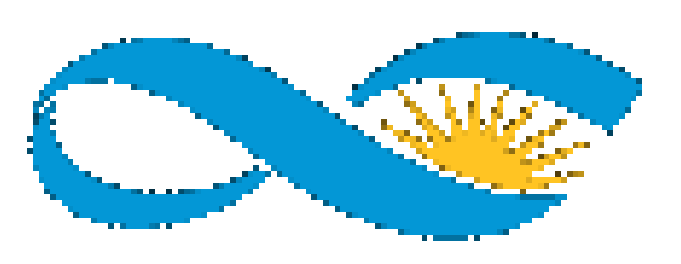


MECANISMOS MOLECULARES QUE DETERMINAN EL ROL PRO AMILOIDOGÉNICO DE LA APOLIPOPROTEÍNA A-I

Universidad Nacional de La Plata

Facultad de Ciencias Médicas

CONICET



Rosú, S.A.^{a,b}; Gaddi, G.A^{a,b}, Ramella, N.A.^{a,b}; Finarelli, G.S.^a, Gisonno, R.^a, Schinella, G.R^b, Prieto, E.D^c, Tricerri, M.A^{a,c}.

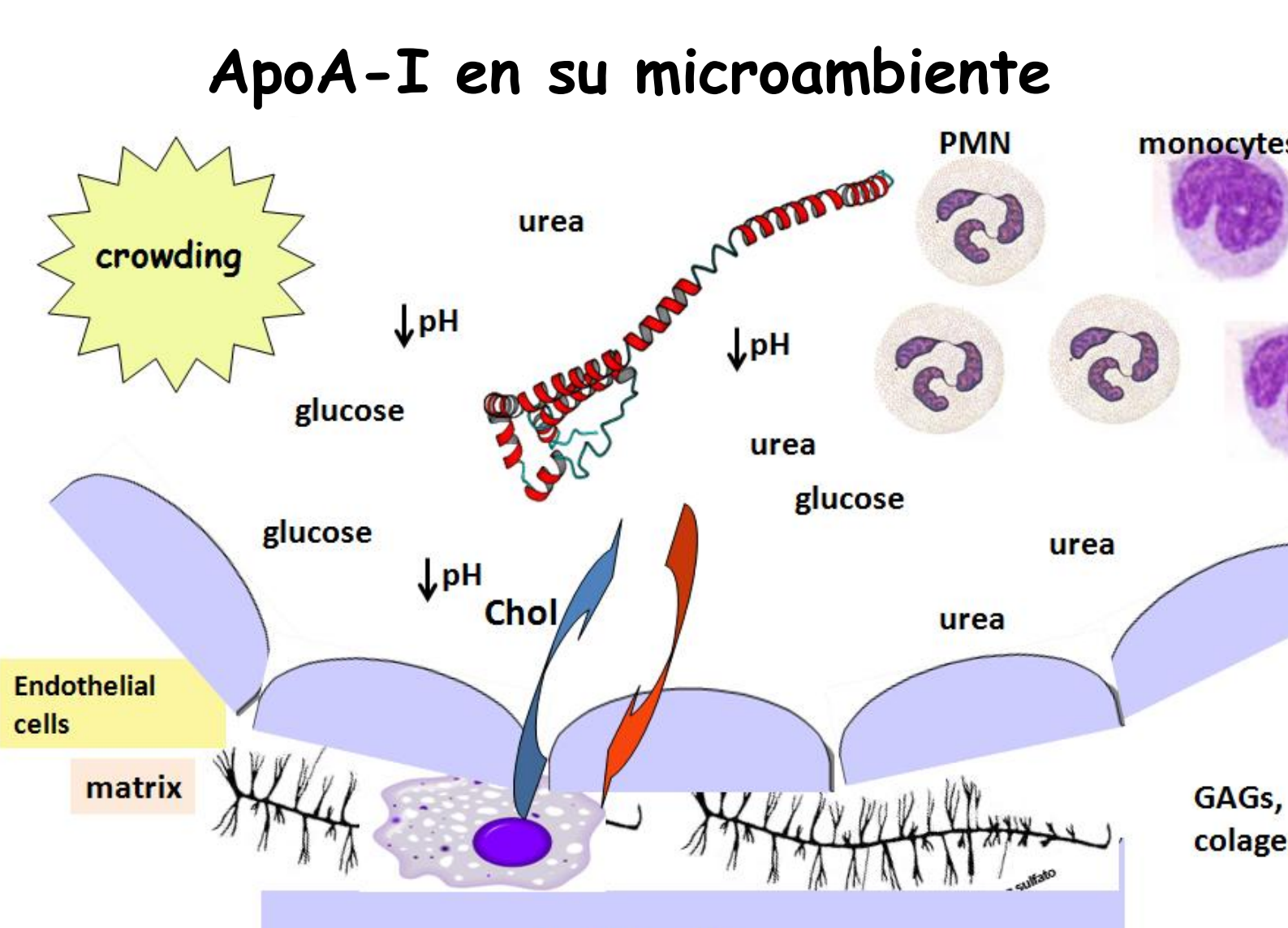
^aInstituto de Investigaciones Bioquímicas de La Plata (INIBIOLP), CONICET. ^bFacultad de Ciencias Médicas, UNLP- CONICET, Calles 60 y 120, La Plata 1900, Buenos Aires. ^cInstituto de Investigaciones Fisicoquímicas Teóricas y Aplicadas (INIFTA), UNLP- CONICET aletricerri@yahoo.com

Introducción

Las amiloidosis son patologías crónicas, en las que proteínas mal plegadas inducen citotoxicidad de distinta severidad y en distintos órganos. La amiloidosis inducida por mutantes naturales de la apolipoproteína A-I humana (*apoA-I*) se presenta con diversas manifestaciones clínicas dependiendo de la variante proteica que se encuentra involucrada¹. En estudios previos determinamos que la conformación proteica puede sufrir alteraciones estructurales inducidas por parámetros pro-inflamatorios del microambiente que favorecen un procesamiento patogénico 2,3.

En este trabajo examinamos el efecto de mutaciones puntuales sobre la estructura, estabilidad y tendencia a la agregación de estas proteínas, así como su habilidad para unirse a ligandos del microambiente y de desencadenar respuestas celulares.

Variantes naturales de apoA-I	
ApoA-I Variants	Organ
associated with amyloidosis	Erickson et al, J. of Mol Diagnostics, (11) 3, 2009
Wt	Renal failure, peripheral neuropathy
Gly26Arg	Renal failure
Trp50Arg	Renal failure
Leu60Arg	Renal failure
Leu75Pro	Renal failure, hepatic, gastrointestinal
Leu90Pro	Cardiomyopathy, cutaneous amyloid
Lys107del	Aortic intimal amyloid
Ala154fs	Renal amyloid
Leu170Pro	Amyloid in larynx
Arg173Pro	Cardiomyopathy, cutaneous and laryngeal
Leu174Ser	Cardiomyopathy
Ala175Pro	Laryngeal
Leu178His	Cardiomyopathy, cutaneous and laryngeal
non associated with amyloidosis	Takada et al Biichimica et Biophysica Acta, 1043 (1990) 169
Glu110Lys	



Estabilidad proteica y plegamiento anómalo

Structural Fluorescence characterization of wt and variants

Protein variants	[GndHCl] ^{a,1/2}	WMF ^b	ΔG° denat. ° (kcal/mol)	K (M ⁻¹) ^d
Wt	1.0 ± 0.2	338 ± 0.2	2.5 ± 0.2	5.3 ± 0.3
Gly26Arg	0.7	340	1.5	7.9
Lys107-0	0.9	340	1.9	6.5
Arg173Pro	0.6	339	NA	6.7
Leu60Arg	0.7	341	NA	8.2
Trp50Arg	0.8	339	2.1	8.5
Glu110Lys (NonA)	1.0			2.7?

^awhich half of the protein is unfolded, respectively

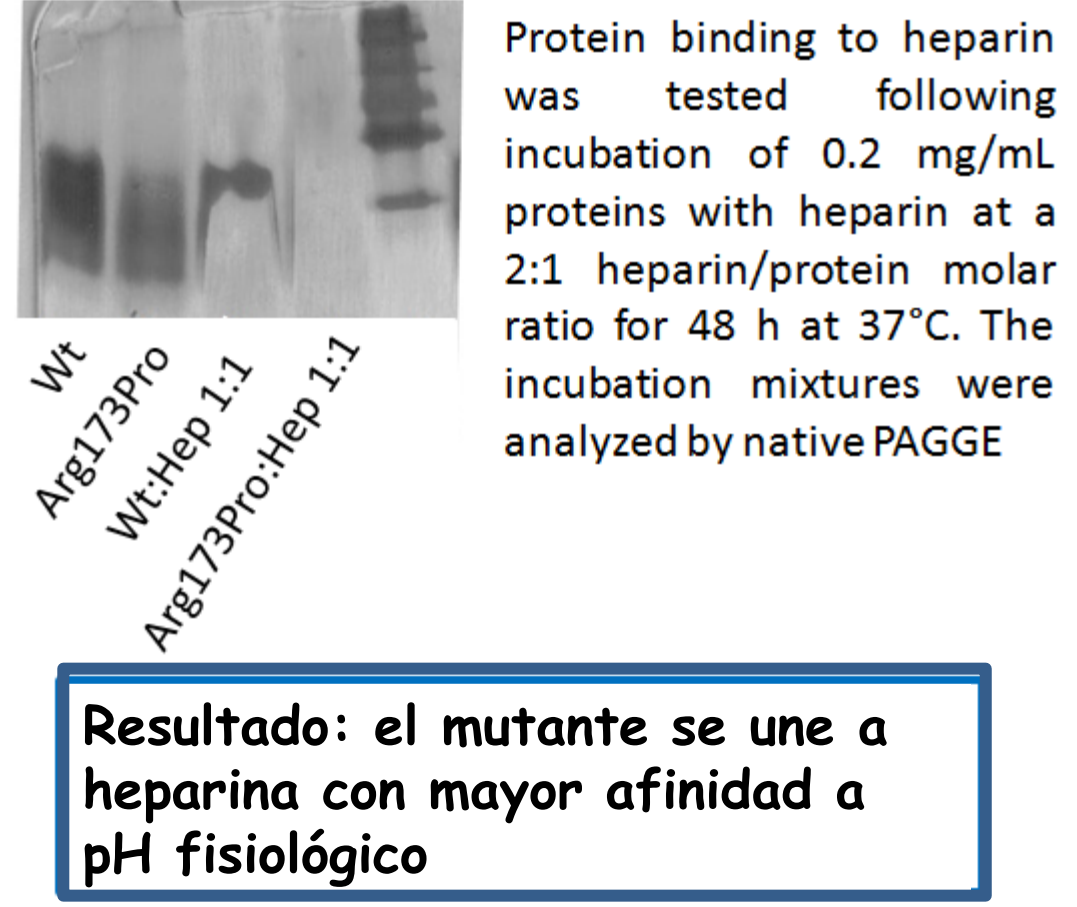
^bFree energy change of unfolding

^cStern-Volmer constant for the quenching of Trp by acrylamide

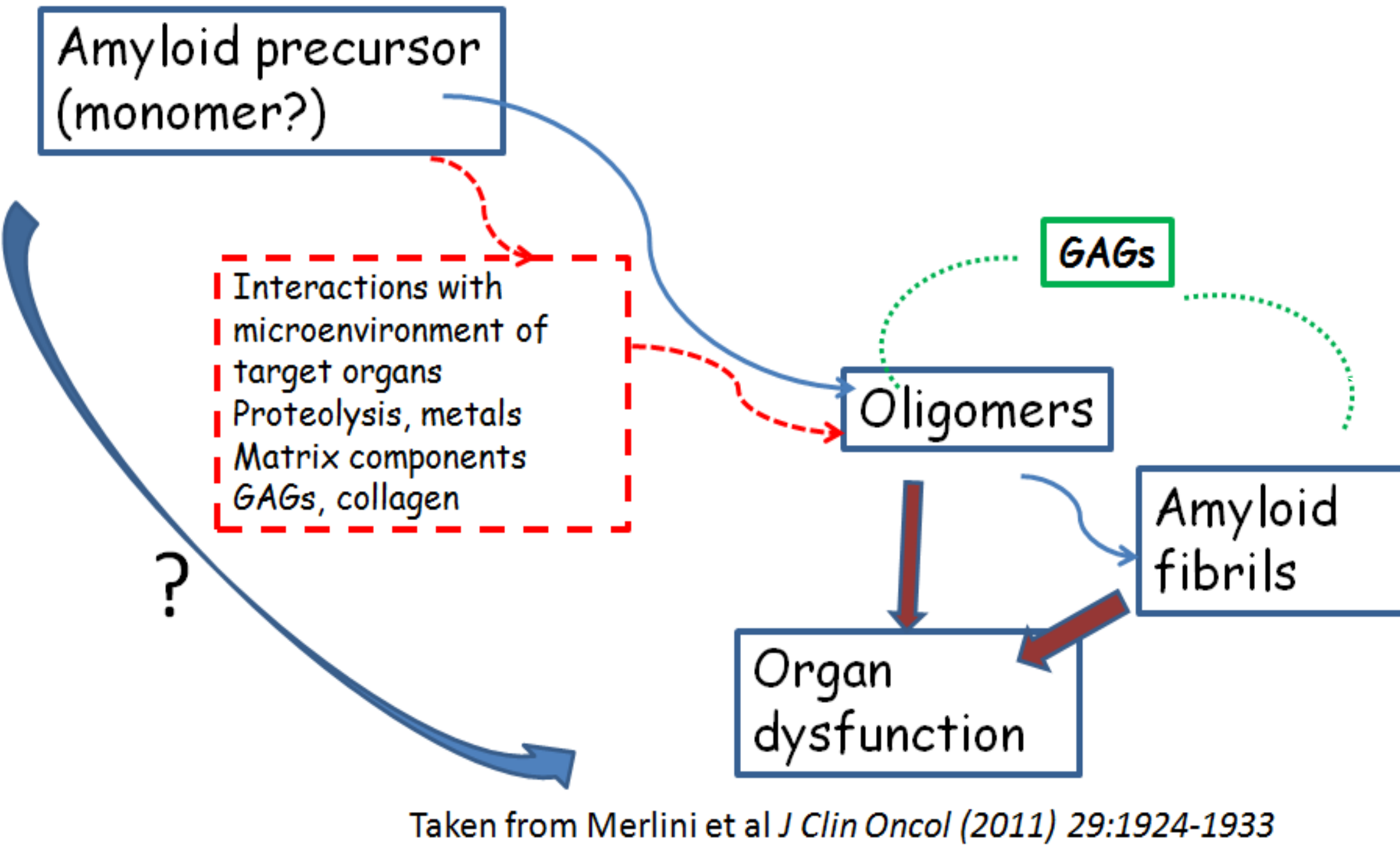
Resultados: todas las variantes analizadas son menos estables que la proteína Wt, lo que puede justificar parcialmente su agregación patológica

Unión a ligandos (heparina como modelo de glicosamino glicano)

Unión de heparina a pH 7,4 Arg173Pro Native-PAGE

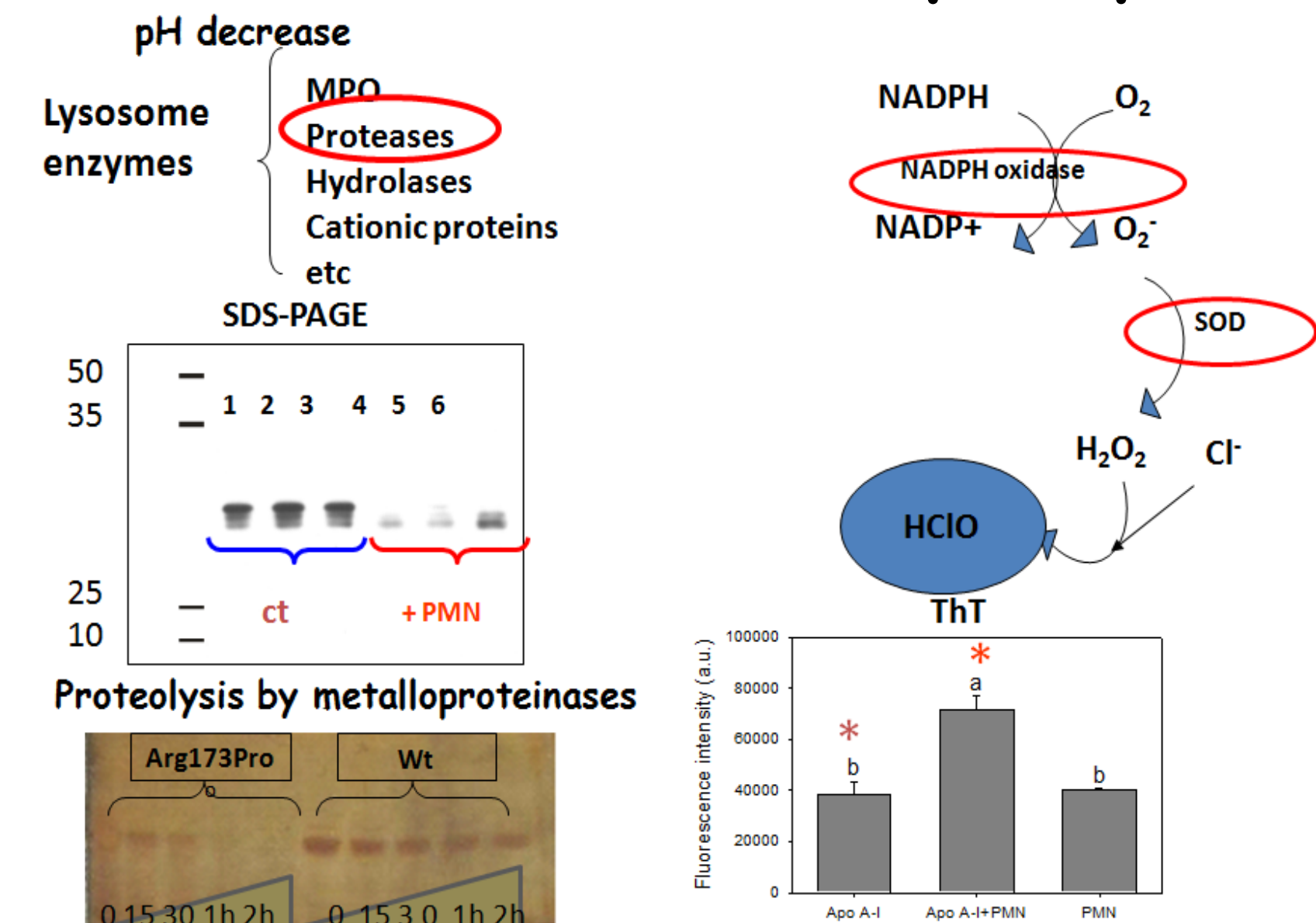


Probables vías de señalización involucradas en la amiloidosis inducida por apoA-I



Taken from Merlini et al J Clin Oncol (2011) 29:1924-1933

Mecanismos oxidativos involucrados en la amiloidosis inducida por apoA-I

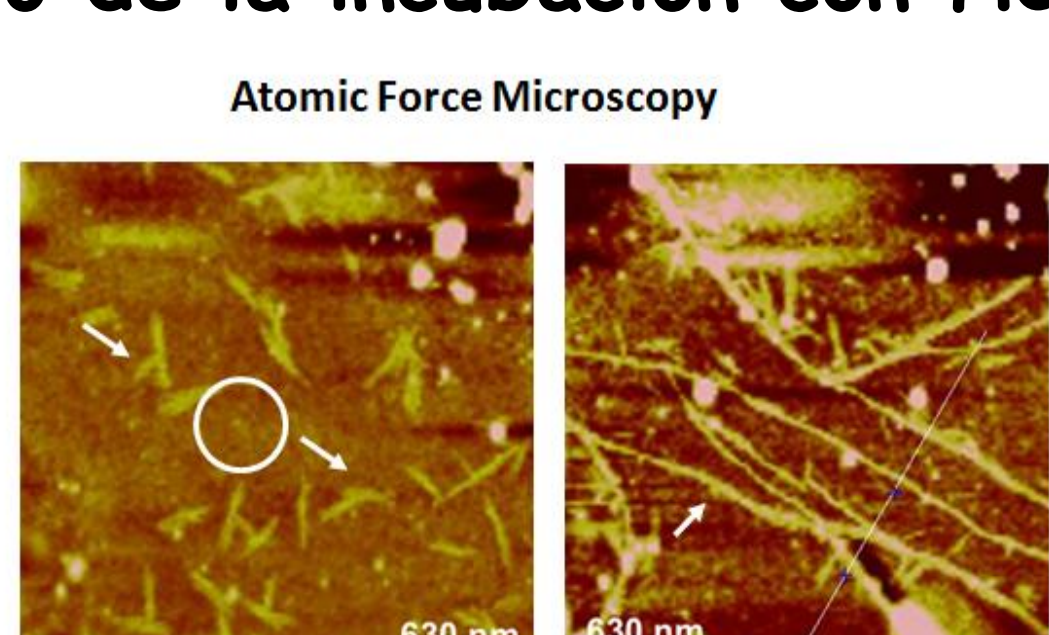


Conclusiones:

-Los precursores amiloidogénicos pueden desencadenar formación de complejos citotóxicos mediante distintos mecanismos, ya sea comunes o específicos de cada mutante

-El microambiente es clave para incrementar la agregación proteica

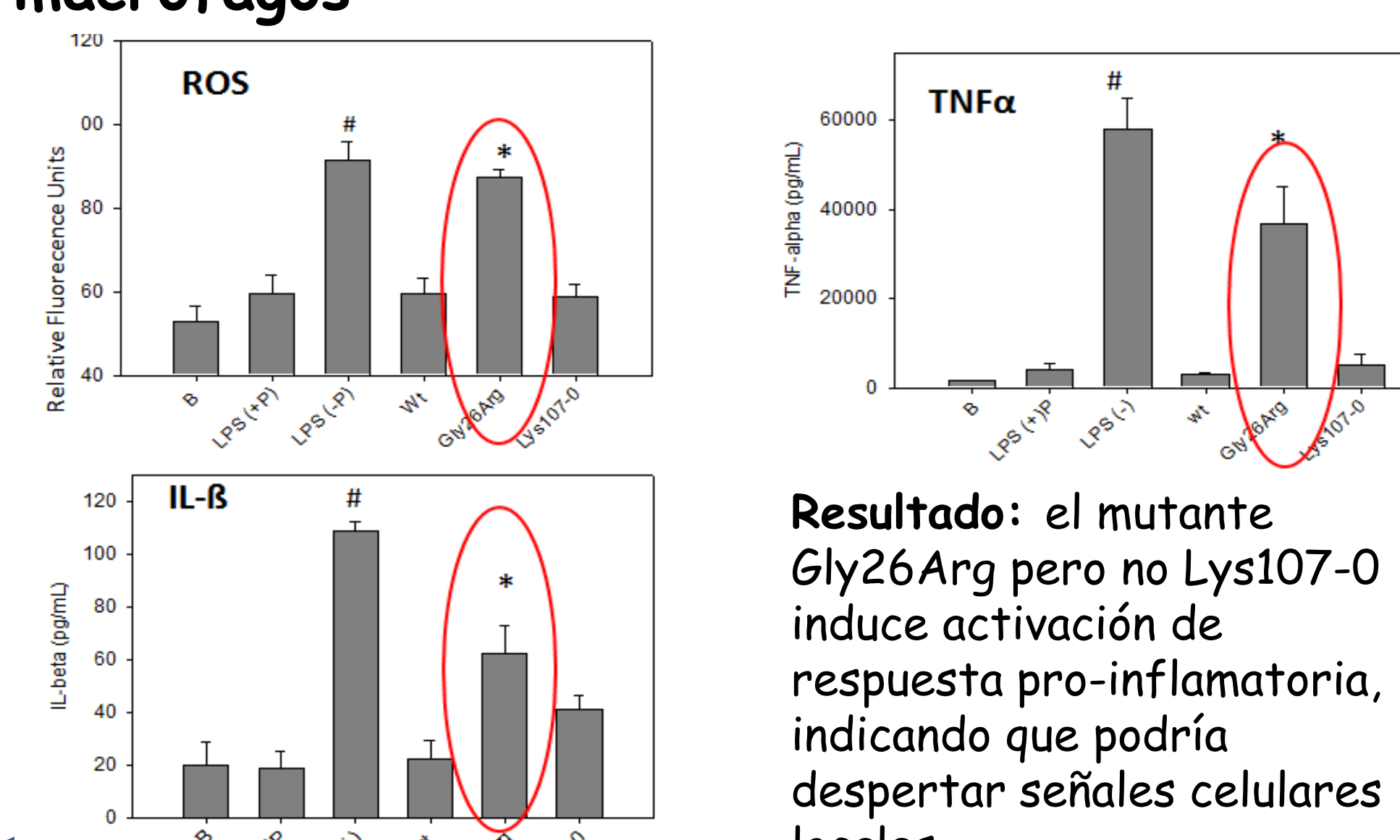
Morfología y caracterización de apoA-I luego de la incubación con HClO



Protein was incubated at 100 mM HClO. ApoA-I (0.6 mg/mL) was incubated for 24 h and 37°C at 100 mM HClO, and loaded stepwise onto the mica.

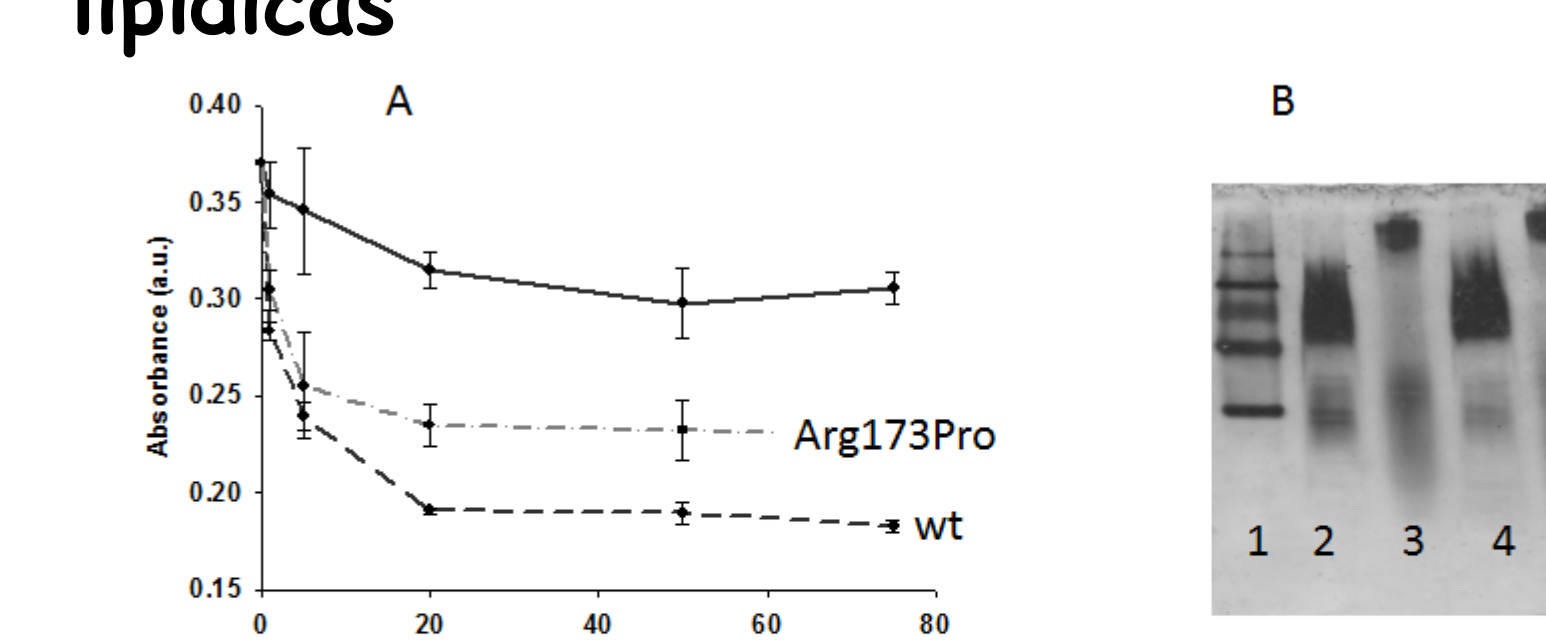
Resultado: oligómeros pequeños cubren la superficie de la mica y estructuras elongadas fibrilares representan la muestra

Efecto de las variantes en la activación de macrófagos



Resultado: el mutante Gly26Arg pero no Lys107-0 induce activación de respuesta pro-inflamatoria, indicando que podría despertar señales celulares locales

Unión de variante Arg173Pro a vesículas lípidicas



Characterization of spontaneous formation of lipid:protein complexes. A) Multilamellar DMPC liposomes were incubated at 24°C and Absorbance measured at 340 nm B) Native 4-24% PAGGE analysis of the final product after incubation of wt (lanes 2 and 4) or Arg173Pro (lanes 3 and 5) with DMPC at 24°C for 1 or 2 h, respectively. Lane 1 corresponds to High molecular weight standards 699, 440, 232, 140 and 67 kDa

Resultado: la unión a lípidos está disminuida

